

УДК 622.512:621.65

ДИНАМИЧЕСКОЕ И ГЕОМЕТРИЧЕСКОЕ ПОГРУЖЕНИЕ ЭРЛИФТОВ ДЛЯ ДОБЫЧИ ПОЛЕЗНЫХ ИСКОПАЕМЫХ

Малеев В.Б., канд. техн. наук, доц.,

Малыгин С.С., канд. техн. наук, доц.,

Донецкий государственный технический университет

Установлена зависимость между динамическим и геометрическим погружениями эрлифтов с подающей трубой большой длины. Доказано, что давление нагнетателя определяется как сумма давлений у смесителя эрлифта и потерь давления в пневмопроводе.

The dependence between dynamic and geometrical immersings airlifts with a giving pipe of large length is established. Is proved, that the pressure of a supercharger is determined as the sum of pressure at the mixer airlift and losses of pressure in a pneumowire.

Применение эрлифтов при добывче полезных ископаемых со дна морей и океанов, а также способом выщелачивания чёрез скважины, ставит задачу определения оптимального геометрического погружения их смесителей.

В таких эрлифтах (рис.1) общая длина трубопровода ℓ будет

равна расстоянию от морского дна или разрабатываемого пласта до излива пульпы из воздухоотделителя. При этом трубопровод смесителем делится на два: 1 – всасывающий – от места захвата твердого до смесителя; 2 – подъемный – от смесителя до излива пульпы на поверхности.

Длина всасывающего трубопровода ℓ_{bc} , особенно в эрлифтах для добывчи полезных ископаемых со дна морей и океанов, бывает значительной и часто превышает длину подъемного ℓ_{nm} , которая определяется как сумма геометрической глубины погружения смесителя h_e и высоты подъема пульпы H , равной расстоя-

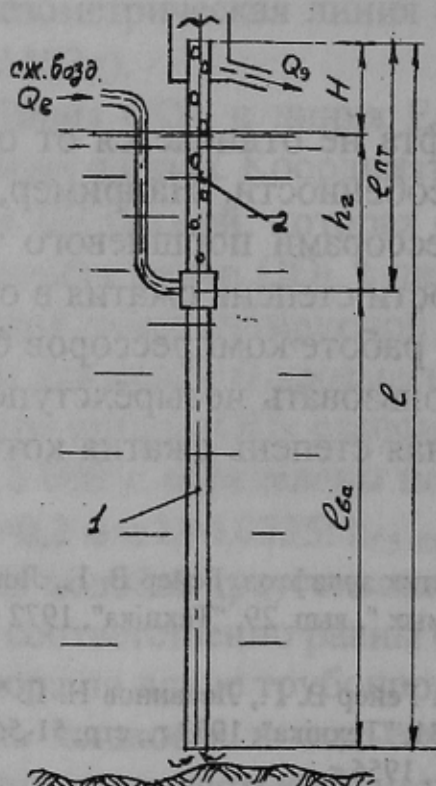


Рис.1. Схема добывчного эрлифта

нию от свободной поверхности воды до ее излива из подъемной трубы. Эта высота зависит от размеров добывающего плавсредства и не меняется в процессе работы. При неизменных общей длине трубопровода и высоте подъема, с изменением геометрической глубины погружения смесителя меняется длина всасывающего трубопровода эрлифта.

При движении пульпы по всасывающему трубопроводу имеют место гидравлические потери, приводящие к снижению давления в смесителе по сравнению с давлением столба воды на глубине h_2 .

Наряду с этим при работе эрлифта плотность пульпы, движущейся по его всасывающему трубопроводу, будет больше плотности воды, что также приводит к снижению давления в смесителе. Снижение давления приводит к уменьшению его динамической глубины погружения $h_{дин}$ по сравнению с геометрической.

Уменьшение динамической глубины погружения при неизменной длине подъемной трубы снижает относительное погружение эрлифта $\alpha_{дин}$, определяемое по зависимости:

$$\alpha_{дин} = \frac{h_{дин}}{\ell_{n.m}} = \frac{h_{дин}}{H + h_2}. \quad (1)$$

Многочисленными исследованиями доказано [1,2,4], что при уменьшении относительного погружения увеличивается удельный расход сжатого воздуха, приводящий к снижению КПД эрлифта. Исследованиями также доказано [3], что существует оптимальное относительное погружение α_o , при котором эрлифт имеет максимальный КПД.

Для обеспечения максимального КПД эрлифта необходимо, чтобы его динамическое относительное погружение равнялось оптимальному, т.е.:

$$\alpha_{дин} = \alpha_o. \quad (2)$$

Условие (2) можно выполнить, увеличив геометрическую глубину погружения смесителя эрлифта по сравнению с динамической на величину потерь из-за неравенства плотностей воды и пульпы, а также потерь на преодоление гидравлического сопротивления всасывающего трубопровода.

Для определения этих потерь на рис.2 построены эпюры давления воды и пульпы. Там же приведены длины труб эрлифта и глубины погружения его смесителя.

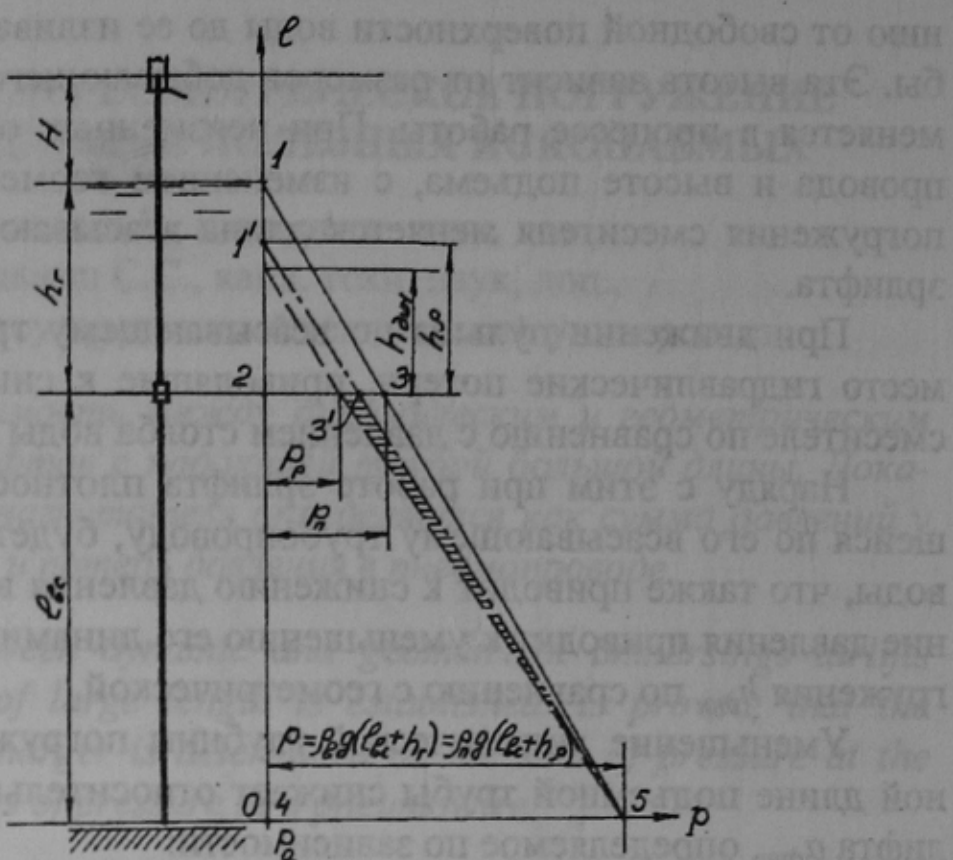


Рис. 2. Расчетная схема добывчного эрлифта

Эпюра давления окружающей воды представлена треугольником 1-4-5, а давление пульпы - треугольником 1'-4-5. Давление у входа во всасывающую трубу эрлифта одинаково для воды и пульпы, т.е.:

$$\rho_w \cdot g \cdot (h_e + l_{sc}) = \rho_n \cdot g \cdot (h_\rho + l_{sc}), \quad (3)$$

где h_ρ - погружение смесителя с учетом разности плотности воды и пульпы.

Из подобия треугольников 1'-2-3' и 1'-4-5 следует:

$$\frac{h_\rho}{h_\rho + l_{sc}} = \frac{\rho_n \cdot g \cdot h_\rho}{\rho_n \cdot g \cdot (h_e + l_{sc})}. \quad (4)$$

Из подобия треугольников 1-2-3 и 1-4-5 следует:

$$\frac{h_e}{h_e + l_{sc}} = \frac{\rho_w \cdot g \cdot h_e}{\rho_w \cdot g \cdot (h_e + l_{sc})}. \quad (5)$$

С учетом зависимости (3) можно записать:

$$\frac{h_\rho}{h_\rho + l_{sc}} = \frac{\rho_n \cdot g \cdot h_\rho}{\rho_w \cdot g \cdot (h_e + l_{sc})}, \quad (6)$$

откуда:

$$h_{\rho} = \frac{\rho_e}{\rho_n} h_e + \frac{\rho_e}{\rho_n} \ell_{ec} - \ell_{ec}. \quad (7)$$

Потери напора на преодоление гидравлического сопротивления всасывающего трубопровода определяем по известной формуле гидравлики:

$$\Delta H_n = \frac{8 \cdot \lambda \cdot Q^2}{\pi^2 \cdot d_{ec}^5 \cdot g} \cdot \ell_{ec}, \quad (8)$$

где λ - коэффициент Дарси для однородной жидкости; Q_e - подача эрлифта, м³/с; d_{ec} - внутренний диаметр всасывающего трубопровода эрлифта, м.

Динамическая глубина погружения смесителя эрлифта:

$$h_{dyn} = h_{\rho} - \Delta H_n, \quad (9)$$

Подставив в зависимость (9) значение h_{ρ} из (7), а ΔH_n из (8), получим:

$$h_{dyn} = \frac{\rho_e}{\rho_n} h_e + \frac{\rho_e}{\rho_n} \ell_{ec} - \ell_{ec} - \frac{8 \cdot \lambda \cdot Q_e^2}{\pi^2 \cdot d_{ec}^5 \cdot g} \cdot \ell_{ec}. \quad (10)$$

Выразим длину всасывающего трубопровода через общую длину трубопровода, высоту подъема и геометрическую глубину погружения смесителя эрлифта:

$$\ell_{ec} = \ell - H - h_e. \quad (11)$$

Определим геометрическую глубину погружения, заменив длину всасывающего трубопровода значением, полученным в зависимости (11):

$$h_{dyn} = \ell \left(\frac{\rho_e}{\rho_n} - 1 - \frac{8 \cdot \lambda \cdot Q_e^2}{\pi^2 \cdot d_{ec}^5 \cdot g} \right) + H \left(1 - \frac{\rho_e}{\rho_n} + \frac{8 \cdot \lambda \cdot Q_e^2}{\pi^2 \cdot d_{ec}^5 \cdot g} \right) + h_e \left(1 + \frac{8 \cdot \lambda \cdot Q_e^2}{\pi^2 \cdot d_{ec}^5 \cdot g} \right) \quad (12)$$

Далее, воспользовавшись зависимостью (1), и, приравняв динамическое относительное погружение оптимальному, определим геометрическую глубину погружения смесителя эрлифта, необходимое для обеспечения его максимального рабочего КПД:

$$h_2 = \frac{\ell \left(1 - \frac{\rho_e}{\rho_n} + \frac{8 \cdot \lambda \cdot Q_e^2}{\pi^2 \cdot d_{sc}^5 \cdot g} \right) + H \left(\frac{\rho_e}{\rho_n} + \alpha_o - 1 - \frac{8 \cdot \lambda \cdot Q_e^2}{\pi^2 \cdot d_{sc}^5 \cdot g} \right)}{1 + \frac{8 \cdot \lambda \cdot Q_e^2}{\pi^2 \cdot d_{sc}^5 \cdot g} - \alpha_o}, \quad (13)$$

Зная значения геометрической и динамической глубин погружения можно определить:

- пусковое давление у смесителя эрлифта:

$$p_n = \rho_e \cdot g \cdot h_2, \quad (14)$$

- рабочее давление у смесителя эрлифта:

$$p_p = \rho_e \cdot g \cdot h_{dyn}, \quad (15)$$

Давление нагнетателя определиется как сумма давления у смесителя эрлифта и потерь давления в пневмопроводе от нагнетателя до эрлифта.

Список источников.

1. Пак В.С., Гейер В.Г. Рудничные вентиляторные и водоотливные установки. – М: Углехиздат, 1955.
2. Малыгин С.С. Определение удельного расхода воздуха и подачи по основным расчетным величинам эрлифтного подъема.// Разраб. месторожд. полезных ископ. Респ. межвед. науч.-техн. сб., 1981. Вып. 58.
3. Малыгин С.С., Усков Е.В. Эрлифт как средство шахтного водоотлива.// Разраб. месторожд. полезных ископ. Респ. межвед. науч.-техн. сб., 1972. Вып. 29.
4. Методические рекомендации по применению средств механизации очистки шахтных водосборных емкостей. Под ред. В.Г. Гейера, Донецк ЦБНТИ МУП УССР, 1983.

УДК 622.512:621.65

ОПТИМАЛЬНОЕ ОТНОСИТЕЛЬНОЕ ПОГРУЖЕНИЕ ЭРЛИФТОВ

Малыгин С.С., канд. техн. наук, доц.,

Малеев В.Б., канд. техн. наук, доц.,

Донецкий государственный технический университет

Доказана зависимость КПД эрлифта от относительного погружения и определена величина оптимального относительного погружения.

The dependence of efficiency airlift from relative immersing is proved and the value of optimum relative immersing is determined.

Воздушные подъемники – эрлифты нашли широкое применение в различных отраслях промышленности. Они используются в качест-